Zeitschrift: IABSE congress report = Rapport du congrès AIPC = IVBH

Kongressbericht

Band: 5 (1956)

Artikel: Berechnung der Stahlbeton Fertigteil-Konstruktionen verbunden an Ort

und Stelle

Autor: Goschy, Béla

DOI: https://doi.org/10.5169/seals-6026

Nutzungsbedingungen

Die ETH-Bibliothek ist die Anbieterin der digitalisierten Zeitschriften auf E-Periodica. Sie besitzt keine Urheberrechte an den Zeitschriften und ist nicht verantwortlich für deren Inhalte. Die Rechte liegen in der Regel bei den Herausgebern beziehungsweise den externen Rechteinhabern. Das Veröffentlichen von Bildern in Print- und Online-Publikationen sowie auf Social Media-Kanälen oder Webseiten ist nur mit vorheriger Genehmigung der Rechteinhaber erlaubt. Mehr erfahren

Conditions d'utilisation

L'ETH Library est le fournisseur des revues numérisées. Elle ne détient aucun droit d'auteur sur les revues et n'est pas responsable de leur contenu. En règle générale, les droits sont détenus par les éditeurs ou les détenteurs de droits externes. La reproduction d'images dans des publications imprimées ou en ligne ainsi que sur des canaux de médias sociaux ou des sites web n'est autorisée qu'avec l'accord préalable des détenteurs des droits. En savoir plus

Terms of use

The ETH Library is the provider of the digitised journals. It does not own any copyrights to the journals and is not responsible for their content. The rights usually lie with the publishers or the external rights holders. Publishing images in print and online publications, as well as on social media channels or websites, is only permitted with the prior consent of the rights holders. Find out more

Download PDF: 02.10.2025

ETH-Bibliothek Zürich, E-Periodica, https://www.e-periodica.ch

VIa4

Berechnung der Stahlbeton Fertigteil-Konstruktionen verbunden an Ort und Stelle

Cálculo de estruturas de betão armado com elementos prefabricados, ligados no local da obra

Calcul des constructions en béton armé exécutées en éléments préfabriqués montés sur place

Calculation of reinforced concrete structures incorporating precast elements erected at the site

BÉLA GOSCHY

Budapest

1.) Einleitung.

Die Wirkungsweise der an Ort und Stelle verbundenen Stahlbeton-Fertigteil-Systeme unterscheidet sich von den monolythischen Stahlbeton-Konstruktionen und dadurch wird die Statik und Bemessung der Stahlbeton-Verbundkonstruktionen wesentlich beeinflusst. Ausserdem müssen noch die Zeitveränderlichkeit, die plastischen Verformungen (Kriechen und Schwinden) des Betons, sowie die Montage dieser Konstruktionen bei den Rechnungen beachtet werden. Die Untersuchung dieses Verhaltens ist das Ziel der vorliegenden Arbeit.

Die Stahlbeton-Fertigteilbauten können ohne Gerüst, als selbsttragende Tragwerke ausgebildet werden. In diesem Falle wird das Gesamtgewicht (Fertigteil- und Ortsbetongewicht) allein von dem Fertigteil getragen. Sie können aber völlig oder nur teilweise auf Gerüst gebaut werden, in diesem Falle wird das Gesamtgewicht, einschliesslich die Nutzlast von dem Verbund-System getragen. Die Rechnungsverfahren werden auf diese zwei Grundfälle ausgerichtet.

Der mit dem Ortsbeton zusammenwirkende Fertigteilbalken bildet innerlich ein statisch unbestimmtes System. Bei der Vermittlung der unbekannten statischen Grössen -wie es bei den statisch unbestimmten Stahlbetonsystemen üblich ist- rechnen wir mit dem homogenen Betonquerschnitt.

2.) Bezeichnungen.

F_4 , J_4 , W_4 , $i_4^2 = \frac{J_4}{F_4}$	Querschnittsgrössen des Fertigteils
F_2 , J_2 , W_2 , $i_2^2 = \frac{J_2}{F_2}$	Querschnittsgrössen des Ortsbetonteils
P_o , M_o	äussere Druckkraft, Biegungsmoment
P_1 , M_1 , N_o	Last- und Momentenanteil des Fertigteils
P_2 , M_2 , N_o	Last- und Momentenanteil des Ortsbetonteils
P_B , M_B	Bruchkraft, Bruchmoment
φ1, φ1,t; 91 ∞	Kriechzahl des Fentigteils
φ2, φ2,t; φ2 ω	Kriechzahl des Ortsbetons
k_1, k_2	Prismenfestigkeit des Betons
$\sigma_{\mathbf{f}}$	Fliessgrenze des Stahls
$\sigma_{10}, \ \sigma_{20}$	zulässige Betondruckspannung bei mittigem Druck
$\sigma_{1b}, \ \sigma_{2b}$	zulässige Betondruckspannung bei reiner Biegung.

3.) Einfluss des Kriechens und des Schwindens.

Die Fertigbauteile und die an Ort und Stelle betonierten Trägerteile kriechen nach verschiedenen Gesetzen, die von dem Betonalter und der Betongüte, wie auch von dem Beginn der Belastung abhängig sind.

Der Stahbeton-Fertigteil beginnt mit Δt früher zu kriechen als der Ortsbeton, nach folgendem Gesetz:

$$\varphi_{i}, t_{i} = \varphi_{i \infty} \left(1 - e^{-t_{i}} \right) \tag{1}$$

Die Kriechlinie des Ortsbetons hat die folgende Form:

$$\varphi_2, t_2 = \varphi_{2\infty} \left(1 - e^{-t_2} \right)$$
 (2)

Die beiden Zeitpunkte stehen in folgendem Zusammenhang:

$$t_1 = t_2 + \Delta t$$

Wenn wir den Zeitpunkt der Wirkung der ständigen Last mit t_{10} bzw. t_{20} bezeichnen, so kriechen die einzelnen Trägerteile nach:

$$\overline{\varphi}_{i}$$
, $t_{i} = \varphi_{i}$, $t_{i} - \varphi_{i}$, $t_{i0} = \varphi_{i\infty} \left(e^{-t_{i0}} - e^{-t_{i}} \right)$ (3)

$$\bar{\varphi}_{2}, t_{2} = \varphi_{2}, t_{2} - \varphi_{2}, t_{20} = \varphi_{2\infty} \left(e^{-t_{20}} - e^{-t_{2}} \right)$$
(4)

Da zwischen den beiden Funktionen eine Affinität besteht, kann man die Kriechfunktion des Fertigteils als Funktion des Ortsbetonteils ausdrücken:

$$t_{40}=t_{20}+\Delta t$$
; $v=rac{\phi_{1\,\infty}}{\phi_{2\,\infty}}$ und $\mathscr{H}=e^{-\Delta t}$

Die Funktionen des Kriechens:

$$\overline{\varphi}_1$$
, $t_1 = \nu \mathcal{H} \varphi_{2\infty} \left(e^{-t_{20}} - e^{-t_2} \right) = \nu \mathcal{H} \overline{\varphi}_2$, t_2 (5)

$$\bar{\varphi}_2$$
, $t_2 = \bar{\varphi}_{2\infty} \left(e^{-t_{20}} - e^{-t_2} \right)$ (6)

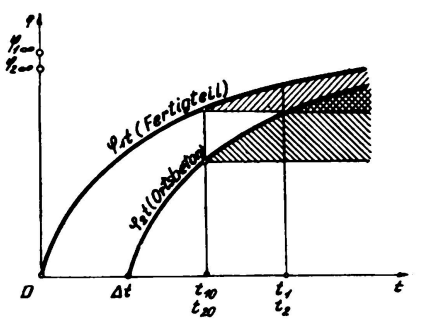


ABB. 1. Kriechkurven der Trägerteile. Die Belastung beginnt zur Zeit t10 bzw. t20

Bei der Berücksichtigung des Kriechens kann man zwei Sonderfälle unterscheiden:

a.) Ist der Fertigteil nicht mehr kriechfähig, so erleidet er unter der ständigen Last keine Verformungen.

In diesem Falle ist $\Delta t = \infty$ und $\overline{\varphi}_1$, $t_1 = 0$

$$\bar{\phi}_{2}$$
, $t_{2} = \phi_{2 \infty} \left(e^{-t_{20}} - e^{-t_{2}} \right)$

b.) Wird der Ortsbeton sofort nach dem Erhärten belastet, dann ist $t_{10}=\Delta t$ und $t_{20}=0$, und die Kriechfunktionen:

$$\overline{\varphi}_1$$
, $t_1 = \nu \mathcal{H} \varphi_2 \infty \left(1 - e^{-t_2} \right) = \nu \mathcal{H} \overline{\varphi}_2$, t_2 (5-a.)

$$\overline{\varphi_2}, t_2 = \varphi_{2\infty} \left(1 - e^{-t_2} \right) \tag{6-a.}$$

Bei der Berücksichtigung des Kriechens werden wir die Aenderung des E_b -als unbedeutende- vernachlässigen.

Das Schwinden ist eine dem Kriechen affine Erscheinung; so können wir die Schwindfunktion proportional der Kriechfunktion auffassen. Das

Verhältnis zwischen den beiden Funktionen ist durch $\frac{\varepsilon_{\infty}}{\varphi_{\infty}}$ gegeben, wo $\varepsilon_{\infty} = \omega$ T° ist. Das Schwindmass wird wegen der Schwindbewehrung vermindert angenommen.

Die Schwindfunktion des Fertigteilträgers:

$$\overline{\epsilon}_1, t_1 = \nu \mathcal{H} \frac{\epsilon_{\infty}}{\varphi_1 \infty} \overline{\varphi}_2, t_2 = \mathcal{H} \overline{\epsilon}_2, t_2$$
 (7)

Die Schwindfunktion des Ortsbetonträgerteils:

$$\overline{\varepsilon}_2, t_2 = \frac{\varepsilon_\infty}{\varphi_2 \omega} \overline{\varphi}_2, t_2$$
 (8)

4.) Die Bestimmung der inneren Kräfte des Verbundquerschnittes.

Bei der Berechnung der Trägerteile nehmen wir einen vollkommenen Verbund an.

4.1 Mittig gedrückte Verbundquerschnitte.

4.11 Die Kraft P_0 greift nur am Fertigteil an. In dem Zeitpunkte t=0 wirkt auf den Fertigteilträger die Teilkraft, $P_1=P_0$ und auf den Ortsbetonträger die Teilkraft $P_2=0$.

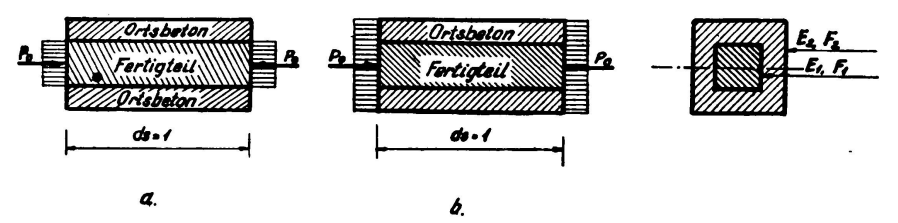


ABB. 2. Zusammengesetzter und an Ort und Stelle verbundener Druckstab. Abb. 3-a. Die Last Po wird nur von dem Fertigteil getragen. Abb. 3-b. Die Last Po wird von dem Verbundträger getragen

4.12 Infolge der Wirkung der Dauerlast P_o treten plastische Verformungen auf. Dis Kräfteumlagerung im Verbundquerschnitt bestimmen wir durch die Auflösung des Verbundes zwischen dem Fertigteil und Ortsbeton und durch die Einführung der unbekannten Kraft X_t . Dann können wir die zwischen den zwei Teilen etstehende relative Verschiebung auf eine Säulenlänge ds = 1, zwischen dem Zeitpunkt t bis zu t+dt, als Null annehmen.

Die Formänderungsgleichung ist:

$$X_{t}\left(a_{11}^{11}\frac{d\phi_{1}}{dt_{2}}+a_{11}^{2}\frac{d\phi_{2}}{dt_{2}}\right)+\frac{dX_{t}}{dt_{2}}\left(a_{11}^{11}+a_{11}^{2}\right)+a_{10}^{11}\frac{d\phi_{1}}{dt_{2}}=0$$

Die einzelnen Werte:

$$a_{11} = a_{11}^{1} + a_{10}^{2} = \frac{1}{E_{1}F_{1}} + \frac{1}{E_{2}F_{2}}$$

$$a_{10} = a_{10}^{1} + a_{10}^{2} = \frac{P_{0}}{E_{1}F_{1}} + 0$$

Die Gleichung wird mit $dt_2/d\varphi_2$ multipliziert; dann durch die Einsetzung von $\overline{\varphi}_1$, $t_1 = \nu \mathcal{H} \overline{\varphi}_2$, t_2 bekommen wir:

$$X_{t}\left(\nu\mathcal{H}{a_{11}}^{1}+{a_{11}}^{2}\right)+\frac{dX_{t}}{d\varphi 2}\left({a_{11}}^{1}+{a_{11}}^{2}\right)+\nu\mathcal{H}{a_{10}}^{1}=0$$

Die Einführung der folgenden Beziehungen:

$$\alpha = \frac{\nu \mathcal{R} a_{11}^{1} + a_{11}^{2}}{a_{11}}; \quad \beta = \frac{\nu \mathcal{R} a_{10}^{1} + a_{10}^{2}}{a_{11}} = -\overline{X}$$

$$\overline{X} = \nu \mathcal{R} P_{o} \frac{E_{2} F_{2}}{E_{1} F_{1} + E_{2} F_{2}}$$

$$gibt \frac{dX_t}{d\varphi_2} + \alpha X_t - \overline{X} = 0$$
 (9)

Die Lösung der Gleichung (9):

a.) Wenn $t_{20} \neq 0$ (mit Schonzeit)

$$X_{t} = \frac{\overline{X}}{\alpha} \left(1 - \lambda e^{-\alpha \varphi_{2} \omega} \right)$$

$$\lambda = e^{+\alpha \varphi t_{20}}$$
(9-a.)

b.) Wenn $t_{20} = 0$ (ohne Schonzeit)

$$X_{t} = \frac{\overline{X}}{\alpha} \left(1 - e^{-\alpha \varphi_{2\alpha}} \right)$$
 (9-b.)

Zur Zeit $t=\infty$ entsteht im Ortsbeton die Druckkraft $P_{2t}=X_t$ und in dem Fertigteilträger die Druckkraft $P_{1t}=P_o-X_t$.

4.13 Die Kraft P_0 greift den Verbundquerschnitt an. Auf Grund der elastischen Formänderungen wird zur Zeit t=0 der Fertigteilträger mit dem Kraftanteil P_1 und der Ortsbetonträger mit P_2 belastet:

$$P_4 = P_o \frac{E_1 F_1}{E_1 F_1 + E_2 F_2}; \quad P_2 = P_o \frac{E_2 F_2}{E_1 F_1 + E_2 F_2}$$

4.14 Infolge der Dauerbelastung Po entstehen plastische Verformungen, sowohl in Fertigteilträger wie auch im Ortsbetonträger.

Die Kraft X, kann man nach dem Verfahren 4.12 bestimmen. Das Belastungsglied in Funktion der Zeit:

$$a_{10}^2 \frac{d\varphi_2}{dt_2} - a_{10}^{1} \frac{d\varphi_1}{dt_2} = \frac{P_2}{E_2 F_2} \frac{d\varphi_2}{dt_2} - \frac{P_1}{E_1 F_1} \frac{d\varphi_1}{dt_2} = \frac{P_0}{E_1 F_1 + E_2 F_2} (1 - \nu \mathcal{H}) \frac{d\varphi_2}{dt_2}$$

$$\beta = \frac{\mathbf{a_{10}} - \mathbf{x} \cdot \mathbf{a_{10}}^{1}}{\mathbf{a_{11}}} = -\bar{\mathbf{X}}; \quad \bar{\mathbf{X}} = (1 - \mathbf{x} \cdot \mathbf{x}) \cdot \frac{\mathbf{P_o}}{\mathbf{E_1} \cdot \mathbf{F_1} + \mathbf{E_2} \cdot \mathbf{F_2}} : \frac{\mathbf{1}}{\mathbf{E_1} \mathbf{F_1}} + \frac{\mathbf{1}}{\mathbf{E_2} \mathbf{F_2}}$$

Die Lösung der Gleichung gibt für Xt folgende Werte:

a.) Wenn $t_{20} \neq 0$ (mit Schonzeit)

$$X_{t} = \frac{\overline{X}}{\alpha} \left(1 - \lambda e^{-\alpha \varphi_{2\omega}} \right)$$

b.) Wenn $t_{20} = 0$ (ohne Schonzeit)

$$X_{t} = rac{\overline{X}}{lpha} \left(1 - e^{-lpha \phi_{2\infty}}
ight)$$

Zur Zeit $t=\infty$ wird der Fertigteilträger mit $P_{1t}=P_1+X_t$, und der Ortsbetonträger mit $P_{2t}=P_2-X_t$ belastet.

4.15 Die Berechnung des Schwindens:

Das relative Schwinden zwischen den Trägern im Zeitpunkte $t=\infty$ ist $\varepsilon=\varepsilon_{\infty}\left(1-e^{-t_{10}}\right)$, wenn der Altersunterschied der zwei Trägerteile $\Delta t=t_{10}$ ist.

Die Schwindkraft wird durch das Kriechen wesentlich vermindert und im Zeitpunkte $t = \infty$ erreicht sie den Wert nach der Gleichung:

$$Xa_{11} + a_{10} = 0; \quad a_{11}^{1} + a_{11}^{2} = \frac{1}{E_{1}F_{1}} + \frac{1}{E_{2}F_{2}}$$

$$a_{10} = \varepsilon_{\infty} \left(1 - e^{-t_{10}}\right) = \varepsilon_{\infty} \left(1 - e^{-\Delta t}\right); \quad X = \varepsilon_{\infty} \left(1 - \mathcal{X}\right); \quad \frac{E_{1}F_{1} \times E_{2}F_{2}}{E_{1}F_{1} + E_{2}F_{2}}$$

$$X_{t} = \frac{X}{\alpha\varphi_{2m}} \left(1 - e^{-\alpha\varphi_{2m}}\right) \tag{10}$$

4.2 Biegung des zusammengesetzten Balkens.

Bei Biegung des zusammengesetzten Balkens werden zwei Fälle untersucht:

- a.) die Schwerlinien der beiden Querschnitte fallen zusammen,
- b.) die Schwerlinien der beiden Querschnitte sind verschieden.

Die Untersuchung der Träger des Falles a.) können wir nach Punkt 4.1 ausführen, wenn wir in die Formeln statt P, M und statt F, J einsetzen.

Untersuchung der Träger von Punkt b.):

4.21 Das Biegungsmoment Mo belastet den Verbundträger.

Die Berechnung der Innenkräfte zur Zeit t=0, können wir in folgenden Schritten durchführen (Bezeichnungen nach Abb. 3):

a.) Berechnung der Null-Linie des Verbundträgers:

$$a_2 = a \frac{E_1 F_1}{E_1 F_1 + E_2 F_2}; \quad a_1 = a - a_2$$

b.) Bestimmung der Kernpunkte unter der Voraussetzung, dass die Spannungen in der neutralen Achse gleich Null sind.

$$b_2 = \frac{i_2^2}{a_2}; \quad b_4 = \frac{i_4^2}{a_4}$$

c.) Berechnung des Hebelarmes des inneren Kräftepaares:

$$c = a + b_2 + b_1$$

d.) Bestimmung der inneren Kräfte: $N_o = M_o / c$; $M_1 = N_o b_1$;

$$\mathbf{M}_2 = \mathbf{N}_0 \, \mathbf{b}_2$$

e.) Bemessung der Trägerteile. Im Besitz der Normalkräfte und Biegungsmoment wird der Stahlbeton-Fertigteil als ausmittig gezogener und der Ortsbetonträgerteil als ausmittig gedrückter Balken bemessen.

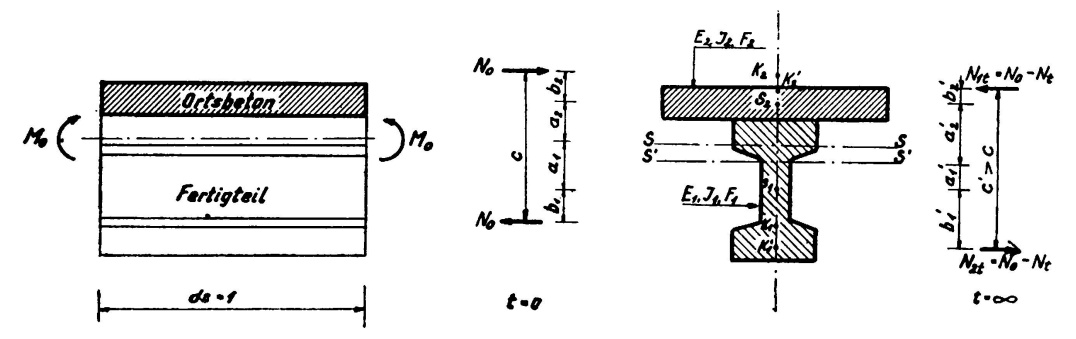


ABB. 3. Innere Kräfte in einem Stahlbeton-Fertigteilträger mit Druckplatte zur Zeit t=0 und $t=\infty$

4.22 Die plastischen Verformungen verursachen eine Umlagerung der inneren Kräfte. Die Veränderung der Normalkraft wird aus der Formänderungsgleichung gerechnet:

$$\begin{split} N_t \left(\frac{1}{E_1 \, F_1} \, \frac{d \phi_1}{d t_2} + \frac{1}{E_2 \, F_2} \, \frac{d \phi_2}{d t_2} \right) + \frac{d N_t}{d t_2} \left(\frac{1}{E_1 \, F_1} + \frac{1}{E_2 \, F_2} \right) = \\ = N_o \left(\frac{1}{E_1 \, F_1} \, \frac{d \phi_1}{d t_2} + \frac{1}{E_2 \, F_2} \, \frac{d \phi_2}{d t_2} \right) - \frac{M_1 \, a}{E_1 \, J_1} \, \frac{d \phi_1}{d t_2} \end{split}$$

Mit
$$N_o = \frac{M_o}{c}$$
 und $M_1 = N_o b_1$

Die Lösung der Differenzialgleichung:

$$\mathbf{N}_{t} = \left(1 - \lambda \, \mathbf{e}^{-\alpha \, \mathfrak{p}_{2\alpha}}\right) \frac{\beta}{\alpha} \, \mathbf{N}_{o} \tag{11}$$

Wenn
$$\alpha = \frac{\nu \mathcal{H} a_{11}^{1} + a_{11}^{2}}{a_{11}^{1} + a_{11}^{2}}; \quad \beta = \alpha - \alpha'; \quad \alpha' = \frac{\nu \mathcal{H} a_{10}^{1}}{a_{11}^{1} + a_{11}^{2}};$$

$$\mathbf{a}_{10}^{1} = \frac{\mathbf{a} \mathbf{b}_{1}}{\mathbf{E}_{1} \mathbf{I}_{1}}; \quad \beta = (1 - \nu \mathcal{H}) \frac{\mathbf{E}_{1} \mathbf{F}_{1}}{\mathbf{E}_{1} \mathbf{F}_{1} + \mathbf{E}_{2} \mathbf{F}_{2}}$$

Zur Zeit $t=\infty$ wird die Normalkraft: $N_{1t}=N_{2t}=N_o-N_t$ Da das Biegungsmoment M_o unverändert bleibt, wächst der Hebelarm von c zu c'. Die Grösse des c' ist durch die Beziehung gegeben:

$$c'N_{1t} = cN_o = M_o$$
 und davon $c' = \frac{M_o}{N_{tot}}$

Infolge des Kriechens verschiebt sich die Null-Linie des zusammengesetzten Querschnittes in Richtung des Fertigteils und die Lage der Kernpunke ändert sich nach Abb. 3. Die Umlagerung der charakteristischen Punkte des Querschnittes kann man leicht bestimmen aus den Beziehungen:

$$a + b'_1 + b'_2 = c'$$
 (12)

$$a = a'_1 + a'_2 (13)$$

$$a'_1 b'_1 = i_1^2$$
 (14)

$$a'_2 b'_2 = i_2^2$$
 (15)

Zur Zeit $t = \infty$ sind also die inneren Kräfte:

$$N_{1t} = N_{2t}$$
; $M_{1t} = N_{1t} b'_1 \text{ und } M_{2t} = N_{1t} b'_2$

4.23 Die Last wird nur von dem Stahlbeton-Fertigteil getragen. Die Belastung des Stahlbeton-Fertigteiles wird zur Zeit t = 0 $M_1 = M_0$ und der an Ort und Stelle betonierte Trägerteil wird unbelastet, $M_2 = 0$.

4.24 Um die inneren Kräfte infolge plastischer Verformungen zu bestimmen, lösen wir die Differenzialgleichung:

$$\begin{split} N_{t} \left(\frac{1}{E_{1} F_{1}} \frac{d \phi_{1}}{d t_{2}} + \frac{1}{E_{2} F_{2}} \frac{d \phi_{2}}{d t_{2}} \right) + \frac{d N_{t}}{d t_{2}} \left(\frac{1}{E_{1} F_{1}} + \frac{1}{E_{2} F_{2}} \right) = \\ &= \frac{M_{o} a}{E_{1} J_{1}} \frac{d \phi_{1}}{d t_{2}} = \frac{N_{o} b_{1} a}{E_{1} J_{1}} \frac{d \phi_{1}}{d t_{2}}; \quad N_{o} = \frac{M_{o}}{b_{1}} \\ \text{wird} \quad N_{t} = \left(1 - \ell e^{-\alpha \phi_{2} \infty} \right) \frac{\beta}{\alpha} N_{o} \end{split}$$

$$(16)$$

$$\beta = \nu \mathcal{R} \text{ aus } \beta = \alpha' = \frac{\nu \mathcal{R} a_{10}^{1}}{a_{11}^{1} + a_{11}^{2}}; \quad a_{10}^{1} = \frac{ab_{1}}{E_{1} J_{1}}$$

Die Kraftanteile des Verbundquerschnittes zur Zeit $t=\infty$ werden: im Ortsbeton die Druckkraft N_t und das Moment $M_{2t}=+N_t$ b_2 ; im Fertigteil die Zugkraft N_t und das Moment $M_{1t}=M_o-N_t$ $(a+b_2)$.

4.25 Infolge Schwindens des Betons entsteht laut Punkt 4.15 eine Normalkraft X und ein Moment Xa. Die Randspannungen werden dann im Stahlbeton-Fertigteil:

$$\sigma_1 = -\frac{X}{F_1} + \frac{Xa}{cF_1} + \frac{Xab_1}{cW_1}$$
 (17)

und im Ortsbeton:

$$\sigma_2 = + \frac{X}{F_2} - \frac{Xa}{cF_2} - \frac{Xab_2}{cW_2}$$
 (18)

Die Schwindspannungen werden durch die plastischen Verformungen wesentlich vermindert (Gl. 10) und zur Zeit $t=\infty$ erreichen sie die Werte:

$$\sigma_{1} = -\frac{X_{t}}{F_{1}} + \frac{M_{t}}{cF_{1}} + \frac{M_{t} b_{1}}{c W_{1}}$$
 (19)

$$\sigma_{2t} = + \frac{X_t}{F_2} - \frac{M_t}{cF_2} - \frac{M_t b_2}{c W_2}$$
 (20)

wo
$$X_t = \frac{X}{\alpha \phi_{2\,\infty}} \left(1 - e^{\, -\alpha \, \phi_{2\,\infty}} \right)$$
 und $M_t = X_t \; a$.

5.) Bruchberechnung zusammengesetzter Stahlbeton-Konstruktionen. Bruchsicherheit.

5.1 Mittig belastete Säulen (ohne Knickgefahr).

Die Bruchlast eines symmetrisch zusammengesetzten und auf mittigen Druck beanspruchten Stabes wird durch das bekannte Additionsgesetz berechnet. Die Bruchlast des zusammengesetzten Stabes ist gleich der Summe der Bruchlasten der einzelnen Stäbe.

$$P_B = P_{1B} + P_{2B}$$
, wo $P_{1B} = k_1 F_{1b} + \sigma_t F_{1s}$ (21)

$$P_{2B} = k_2 F_{2b} + \sigma_f F_{2s}$$
 (22)

Ferner werden wir nur mit dem Betonquerschnitt rechnen; dementsprechend sind die Bruchlasten:

$$P_{1B} = k_1 F_1$$
; $P_{2B} = k_2 F_2$

Der Druckstab wird auf Grund der zulässigen Last Po bemessen.

$$P_o = P_{10} + P_{20} = \frac{k_1}{n} F_1 + \frac{k_2}{n} F_2 = \sigma_{10} F_1 + \sigma_{20} F_2$$

Die Bruchsicherheit ist: $n = \frac{P_B}{P}$.

Belasten wir nun den Fertigteil mit einer Druckkraft P_1 , werden infolgedessen die Spannungen im Fertigteil: $\sigma_1 = \frac{P_1}{F_1}$.

Bestimmen wir in diesem Zustande die Drucklast P_o ' des Verbundquerschnittes sodass infolge der Lasten P_o ' und P_1 die Spannungen im Fertigteil den zulässigen Wert σ_{10} erreichen sollen. Zur Vereinfachung der Berechnung nehmen wir an, dass der Beton ein idealplastischer Baustoff ist Wegen P_o ' = P_{10} ' + P_{20} ', ist

$$\begin{split} \sigma_{1} + \frac{P_{o}'}{F_{1}} \cdot \frac{E_{1} F_{1}}{E_{1} F_{1} + E_{2} F_{2}} &= \sigma_{10}, \text{ oder} \\ P_{1} + P_{o}' \cdot \frac{E_{1} F_{1}}{E_{1} F_{1} + E_{2} F_{2}} &= P_{10}; \quad P_{o}' = (P_{10} - P_{1}) \cdot \frac{E_{1} F_{1} + E_{2} F_{2}}{E_{1} F_{1}} \end{split}$$

Um die zulässige Last P_o des Verbundquerschnittes zu erreichen, steigern wir die Last mit ΔP . Der Wert von ΔP hängt von der zulässigen Spannung σ_{20} des an Ort und Stelle betonierten Trägerteiles ab, — und sie ist proportional mit der Vorbelastung P_1 .

$$\Delta P + P_o' \cdot \frac{E_2 F_2}{E_1 F_1 + E_2 F_2} = P_{20};$$

$$\Delta P = P_{20} - \frac{E_2 F_2}{F_1 F_2} (P_{10} - P_1)$$

Die Bruchsicherheit in dem auf zulässige Spannungen bemessenen Querschnitt wird nun:

$$n' = n \left(1 + \frac{\Delta P}{P_b} \right) \tag{23}$$

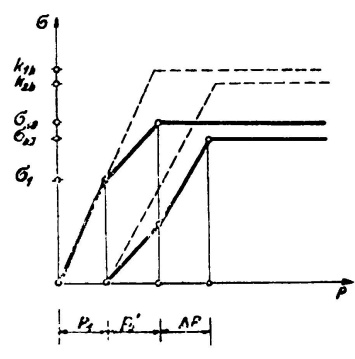


ABB. 4. Verlauf der Druckspannungen in einem zusammengesetzten Querschnitt mit Vorbelastung P₁

5.2 Bruchberechnung des auf Biegung beanspruchten Verbundträgers, wenn die Trägerteile dieselbe Schwerlinie haben.

Das Betonmoment des Verbundquerschnittes ist bei reiner Biegung im Bruchzustand: $M_{11} = M_{118} + M_{218}$; nach den Versuchergebnissen:

$$\mathbf{M}_{1B} = \mathbf{k}_1 \ \mathbf{b}_1 \ \mathbf{h}_1^2 / 3$$
 (24) $\mathbf{M}_{2B} = \mathbf{k}_2 \ \mathbf{b}_2 \ \mathbf{h}_2^2 / 3$ (25)

Um die Grössenordnung der Sicherheit zu bestimmen, werden wir ein solches Bemessungsverfahren benutzen, das die Elastizitätstheorie und die Bruchtheorie vereinigt. Zu diesem Zwecke werden wir die Versuchsergebnisse der Bruchtheorie auf die Elastizitätstheorie übertragen.

Das Verfahren ist n-frei und auch bei homogenen Querschnitten brauchbar. Die Richtigkeit des Verfahrens wurde bei Rechteckquerschnitten in vollem Masse bewiesen (1).

Da wir die Rechnungen auf den homogenen Betonquerschnitt beziehen, wird das Bruchmoment beider Trägerteile:

$$M_{1B} = K_1 W_1; M_{23} = K_2 W_2$$

Rechteckquerschnitte haben den Formfaktor k/K laut den Versuchen von der Grössenordnung 0,5-0,7.

Das zulässige Betonmoment ist:

$$M_{o} = M_{10} + M_{20} = \frac{K_{1}}{n} W_{1} + \frac{K_{2}}{n} W_{2} = \sigma_{1b} W_{1} + \sigma_{2b} W_{2}$$

Der Sicherheitsfaktor ist: $n = \frac{M_B}{M_o} \,.$

Wenn der Stahlbeton-Fertigteil eine Vorbelastung M_1 bekommen hat, kann man wie im Punkt 5.1 den Wert ΔM bestimmen.

$$\Delta M = M_{20} - \frac{E_2 J_2}{E_1 J_1} (M_{10} - M_1)$$

Und so erhalten wir die Bruchsicherheit des Verbundträgers, bemessen auf Grund der Elastizitätstheorie:

$$n' = n \left(1 + \frac{\Delta M}{M_b} \right) \tag{26}$$

Bemerkung: Die Bruchsicherheit ändert sich, wenn wir beim Bemessen den Einfluss des Schwindens und Kriechens auch in Rechnung setzen.

5.3 Bruchberechnung des auf Biegung beanspruchten Verbundträgers, wenn die Trägerteile verschiedene Schwerlinien haben. Bruchsicherheit.

Nach der Plastizitätstheorie ist der Additionssatz auch für das Bruchmoment gültig. Das Bruchmoment des Stahlbetonverbund-Plattenbalkens ist, wenn x = 0.5 h und v (die Plattendicke) < x, und b_1 konstant ist:

$$M_{B} = M_{1B} + M_{2B} = k_{1} b_{1} \left(\frac{h}{2} - v \right) \frac{3 h - 2 v}{4} + k_{2} b_{2} v \left(h - \frac{v}{2} \right)$$

wenn
$$h = h_1 + v$$
 und $v = \alpha h_1$; $h = h_1 (1 + \alpha)$

$$M_{1B} = k_1 \ b_1 \ h_{1^2} \left(\frac{3 - 2 \ \alpha - \alpha^2}{8} \right); \quad M_{2B} = k_2 \ b_2 \ v^2 \left(\frac{1 + 0.5 \ \alpha}{\alpha} \right)$$

⁽¹⁾ Hognestad, E.: Univ. of Illinois Bull. Series n°. 399, vol. 49, n°. 22.

Da die zulässigen Spannungen $\sigma_{10}=\frac{k_1}{n}$; $\sigma_{20}=\frac{k_2}{n}$ sind, die zulässigen Momente:

$$M_{10} = \sigma_{10} b_1 h_1^2 \left(\frac{3 - 2 \alpha - \alpha^2}{8} \right)$$
 (27)

$$M_{20} = \sigma_{20} b_2 v^2 \left(\frac{1 + 0.5 \alpha}{\alpha} \right)$$
 (28)

Die Berechnung wird an ausmittig belasteten Querschnitten gezeigt. Da zwischen der Normalkraft $N_{\rm B}$ und dem Moment $M_{\rm B}$ im Bruchzustand ein geradliniger Zusammenhang besteht, können wir das Gesetz in die Form bringen:

$$\frac{N}{N_{1B}} + \frac{M}{M_{1B}} = 1; \quad \frac{N}{N_{2B}} + \frac{M}{M_{2B}} = 1$$

$$\frac{N}{\sigma_{10} F_1} + \frac{M}{\sigma_{1b} W_1} = 1; \quad \frac{N}{\sigma_{20} F_2} + \frac{M}{\sigma_{2b} W_2} = 1$$

Wenn
$$\frac{\sigma_{10}}{\sigma_{1b}} = \frac{\sigma_{20}}{\sigma_{2b}} = 0.5$$
 dann

$$M_{10} = \sigma_{1b} W_1 \frac{1}{1 + \frac{h_1}{3b_1}} = \sigma_{1b} \frac{b_1 h_1^2}{6} \left(\frac{1}{1 + \frac{h_1}{3b_1}} \right)$$
 (29)

$$M_{20} = \sigma_{2b} W_2 \frac{1}{1 + \frac{v}{3b_2}} = \sigma_{2b} \frac{b_2 v^2}{6} \left(\frac{1}{1 + \frac{v}{3b_2}} \right)$$
 (30)

Die Bedingung, dass die Biegungsmomente aus der Gl. (27, 29) und (28, 30) gleich sein müssen, gibt den Wert des Formfaktors β_1 und β_2

$$\beta_1 = \frac{\sigma_{10}}{\sigma_{1b}} = \frac{4}{3} \frac{1}{3 - 2\alpha - \alpha^2} \frac{1}{1 + \frac{h_1}{3b_1}}$$

$$eta_2 = rac{\sigma_{20}}{\sigma_{2b}} = rac{lpha}{6 (1 + 0.5 \, lpha)} \, rac{1}{1 + rac{ extbf{v}}{3 extbf{b}_2}}$$

Die auf Grund der Elastizitätstheorie bemessenen Träger sind nur bis zum Erreichen der zulässigen Randspannungen in Anspruch genommen. Die Randspannungen:

$$\sigma_{1b} = \frac{\sigma_{10}}{\beta_1}$$
 und $\sigma_{2b} = \frac{\sigma_{20}}{\beta_2}$

Wenn der Fertigteil infolge Montierung mit M_1 vorbelastet ist, kann die zusätzliche Beanspruchung ΔM in der folgenden Form ausgedrückt werden:

$$\Delta M = M_{20} - \frac{4}{3} (M_{10} - M_1) \frac{b_2 + \frac{W_2}{F_2}}{b_1 + \frac{W_1}{F_1}} = M_{20} - \frac{4}{3} (M_{10} - M_1) \frac{b_2 + \frac{v}{6}}{b_1 + \frac{h_1}{6}}$$

Wenn $b_1 = \frac{h_1}{6}$ ist, so bleibt die Randlinie des Fertigteilträgers spannungslos. In diesem Falle steht die Null-Linie des Verbundträgers in der Grenzlinie der zwei Querschnitte. Dann ist $b_2 = \frac{v}{6}$ und somit $\Delta M = M_{20}$. Wenn $b_1 > \frac{h_1}{6}$ ist, liegt also die Null-Linie des Verbundträgers in dem Fertigteil, so ist $\Delta M < M_{20}$.

Wenn $b_1 < \frac{h_1}{6}$, liegt also die Null-Linie in der Druckplatte, ändert sich das Vorzeichen des zweiten Gliedes und ΔM wird $\Delta M > M_{20}$. Die Zugspannungen mindern den Wert der Vorbelastung im Steg.

Die Werte M_{10} und M_{20} werden mit Hilfe der Formfaktoren aus M_{1b} und M_{2b} gerechnet, und die Bruchmomente:

$$M_{1B} = n M_{10}; M_{2B} = n M_{20}.$$

6.) Statisch unbestimmte Stahlbeton-Verbundkonstrukionen.

Die statisch unbestimmten Stahlbeton-Verbundkonstruktionen kann man mit den bekannten Methoden lösen. Im Rahmen dieser Arbeit werden einige Gesichtspunkte zur Vereinfachung der Berechnung angegeben.

6.1 Die Verformungsgleichungen eines unbestimmten Tragwerkes im Zeitpunkt t = 0, sind:

Bei der Ausrechnung der einzelnen Beiwerte werden wir nur die Verformungen eines Trägerteils in Betracht nehmen. Z.B.: Beim Verbundquerschnitt aus der Abb. 3. können die Verformungsglieder auf die Ortsbeton-Druckplatte bezogen werden. In diesem Falle werden die Momentenflächen der virtuellen Kräfte $X_i = 1$, nur auf die Schwerlinie des Ortsbetons bezogen. Diese Tatsache hat nur bei Trägern mit polygonalen oder krummlinigen Achsen (Rahmen und Bogen) Bedeutung, bei Trägern mit geraden Achsen (Durchlaufträger) ist die Beziehungsachse gleichgültig.

Dementsprechend die Belastungsglieder:

$$a_{ik} = \int\limits_{0}^{s} rac{M_i \; M_{2k}}{E_2 \; J_2} \; ds + \int\limits_{0}^{s} rac{N_i \; N_{2k}}{E_2 \; F_2} \; ds$$
 $a_{io} = \int\limits_{0}^{s} rac{M_i \; M_{20}}{E_2 \; J_2} \; ds + \int\limits_{0}^{s} rac{N_i \; N_{20}}{E_2 \; F_2} \; ds$

 M_i und M_{2k} sind die Momente der virtuellen Kräfte $X_i=1$ und $X_k=1$, bezogen auf die Schwerlinie des Ortsbetonträgers, M_{20} ist das Aussenmomentanteil am statisch bestimmten Träger. Z. B.: bei Durchlaufträger (Verdrehung an einem Ende des Trägers).

$$a_{ik} = \int_{0}^{1} \frac{M_{i} M_{2k}}{E_{2} J_{2}} ds = \int_{0}^{1} \frac{M_{i} M_{k} b_{2}}{E_{2} J_{2} c} ds$$

$$a_{io} = \int_{0}^{1} \frac{M_{i} M_{20}}{E_{2} J_{2}} ds = \int_{0}^{1} \frac{M_{i} M_{o} b_{2}}{E_{2} J_{2} c} ds$$

6.2 Die Belastungsglieder des unbestimmten Tragwerkes in der Folge der Zeit werden:

$$a_{ikt} = \int\limits_{0}^{s} \frac{M_{i} \ M_{2kt}}{E_{2} \ J_{2}} \ ds + \int\limits_{0}^{s} \frac{N_{i} \ N_{2kt}}{E_{2} \ J_{2}} \ ds$$

Wenn $\frac{b'_2}{b_2} = 1$ und v = 1, der Wert des auf den Ortsbeton bezogenen Momentes ist.

$$\begin{split} M_{2kt} &= N_{2kt} \ b'_2 \stackrel{\sim}{=} N_{2kt} \ b_3 = M_k \ \frac{b_2}{c} \left(1 - \lambda e^{-\alpha \phi_{2t}} \right) \frac{\beta}{\alpha} \\ a_{ikt} &= \int \frac{M_i \ M_k}{E_2 \ J_2} \ \frac{b_2}{c} \left(1 - \lambda e^{-\alpha \phi_{2t}} \right) \frac{\beta}{\alpha} \ ds \end{split}$$

$$a_{iot} = \int_{0}^{s} \frac{M_{i} M_{o}}{E_{2} J_{2}} \frac{b_{2}}{c} \left(1 - \lambda e^{-\alpha \phi_{2t}}\right) \frac{\beta}{\alpha} ds$$

Die Formänderungsgleichung zwischen den Zeitpunkten t und t + dt:

$$egin{aligned} a_{11} \, rac{d \, \phi_2}{d t_3} \, X_{1t} + a_{11} \, rac{d X_{1t}}{d t_2} + a_{12} \, rac{d \, \phi_2}{d t_2} \, X_{2t} + \\ & + a_{12} \, rac{d X_{2t}}{d t_2} + \, \dots + a_{10} \, rac{d \, \phi_2}{d t_2} = O \, . \end{aligned}$$

Wo z. B.:

$$a_{ii} \frac{d \varphi_3}{d t_2} = \int_0^s \frac{M_i M_i}{E_2 J_2} \frac{b_3}{c} \lambda \alpha e^{-\alpha \varphi_{2t}} \frac{\beta}{\alpha} \frac{d \varphi_2}{d t_2} ds$$

6.3 Bruch des statisch unbestimmten Tragwerkes.

Das statisch unbestimmte Tragwerk wird auf Grund der Elastostatik bemessen, mit Rücksicht auf die Bauweise oder Montage und Ueberlagerung der inneren Kräfte.

Bei der Untersuchung der statisch bestimmten Träger im Gebrauchszustande, haben wir darauf hingewiesen, dass die Berechnung der Vorbelastung, des Kriechens und des Schwindens in manchen Fällen, zu einem höheren Sicherheitsgrad führt. Bei statisch unbestimmten Tragwerken ist auch die unbestimmte Grösse eine Funktion der Zeit. Bei freigebauten Teilen, wo die gesamte Last von dem statisch bestimmten Fertigteil getragen wird, entstehen nach dem Verbund negative Momente und die positiven Momente vermindern sich. Bei auf Rüstung gebauten Tragwerken geht das umgekehrt, an der Stelle der frischen Verbindung werden die negativen Momente vermindert.

Die Berücksichtigung dieser Beanspruchungen und Spannungsumlagerungen beeinflusst aber den Bruchzustand des Trägers nicht, wenn wir den Bruch des Trägers mit der Bildung der Fliessgelenke identisch nehmen.

7.) Schlusswort.

Die Bedeutung der Stahlbeton-Verbundkonstruktionen wird von Tag zu Tag grösser infolge der rapiden Entwicklung der Fertigteil-Bauten. Das Bestreben, ein durch Versuche bestätigtes Bemessungsverfahren zu entwickeln, ist von wirtschaftlicher Bedeutung. Durch die Versuche wird es möglich sein, mehrere Fragen zu beleuchten, z. B.: die Frage des Verbundes der zwei Betonteile, der Schubsicherheit, des Einflusses der Zeit, der Bemessung des Plattenbalkens und der Schubbewährung, usw. Die versuchsmässige Auswertung obengenannter Fragen ist im Gange und die Ergebnisse werden im Schlussbericht veröffentlicht.

ZUSAMMENFASSUNG

Der Zweck der vorliegenden Arbeit ist, einen Ueberblick der Berechnung der Stahlbeton-Fertigteilkonstruktionen -die nachträglich an Ort und Stelle verbunden sind- zu geben. Es wird die Bestimmung der Teilkräfte einzelner Trägerteile, bei verschiedenen Lastfällen untersucht.

Die statisch bestimmten Tragwerke werden in zwei Gruppen analysiert: Systeme mit gleicher Schwerachse und Systeme mit verschiedenen Schwerachsen. Da beim Brückenbau und Hochbau der letztere Fall immer häufiger angewendet wird, wollen wir ein vereinfachtes Rechnungsverfahren zeigen, womit die Spannungsumlagerungen leicht ermittelt werden können.

Im Rahmen der Arbeit wird der Einfluss des Kriechens und des Schwindens, -hauptsächlich mit Rücksicht auf die Schonzeit und den Zeitalterunterschied beider Trägerteile-, in Betracht genommen.

Die Frage der Bemessung der Stahlbeton-Verbundkonstruktionen wird ebenfalls behandelt. Es wird ein Bemessungsverfahren vorgeschlagen, das die Ergebnisse der elastischen und plastischen Theorien vereinigt und das durch zahlreiche Versuche bestätigt wurde. Auf dieser Grundlage kann der Sicherheitsfaktor beim Bruch der nach der Elastizitätstheorie bemessenen Verbundsysteme leicht ausgerechnet werden. Die Berechnung des unbestimmten Verbundsystemes wird auch behandelt, besonders mit Rücksicht auf den Einfluss der Zeitveränderlichkeit auf die einzelnen Belastungsglieder.

RESUMO

O autor dá uma ideia geral do cálculo das estruturas de betão armado com elementos prefabricados montados no local da obra e analisa a determinação dos esforços nas vigas para diversos casos de carga.

As estruturas isostáticas dividem-se em dois grupos: as co-axiais e as de eixo distinto. Sendo o último o caso mais corrente nos edifícios e nas pontes, o autor expõe um método de cálculo simples que permite determinar fàcilmente a repartição das tensões em estruturas desse tipo.

O autor também considera o efeito da fluência e da contracção do betão, especialmente no que diz respeito à diferença de idade de dois elementos de uma viga.

Estuda-se igualmente o caso das construções compostas de betão armado. O autor propõe um método de cálculo que combina os resultados das teorias elástica e plástica e que foi verificado em numerosas experiências.

Este método permite determinar fàcilmente o coeficiente de segurança à rotura de sistemas compostos calculados pela teoria da elasticidade.

O cálculo dos sistemas compostos indeterminados também é discutido, considerando particularmente a influência das variações das cargas elementares com o tempo.

RÉSUMÉ

L'auteur donne un aperçu général du calcul des constructions en béton armé executées en éléments pré-fabriqués montés sur place. Il étudie le determination des efforts dans les poutres pour divers cas de charge.

Les structures isostatiques peuvent se diviser en deux groupes: les structures co-axiales et celles à axes distincts. Les dernières étant plus courantes dans le bâtiment et les ponts, l'auteur expose une méthode de calcul simple qui permet de determiner facilement la repartition des contraintes dans des constructions de ce genre.

L'auteur considère aussi l'influence du fluage et du retrait, surtout en ce qui concerne deux éléments d'une même poutre, d'âges diférents.

Les cas des structures composées en béton armé est également étudié. L'auteur propose une méthode de calcul qui combine les résultats des théories élastique et plastique et qui a été vérifiée par de nombreuses expériences. Cette méthode permet de determiner facilement la sécurité à la rupture de systèmes composés calculés par la théorie de l'élasticité. Le calcul des systèmes composés indeterminés est aussi traité, en considérant surtout l'influence de la variation des charges élémetaires avec le temps.

SUMMARY

The author gives a general survey of the calculation methods used in reinforced concrete structures incorporating precast units assembled at the site. He discusses the determination of forces in the members for various types of load.

Statically determinate structures are divided into two groups: coaxial systems and systems with distinct axis. Owing to the latter being more commonly found in buildings and bridges, the author describes a method of analysis through which stress repartition is easily determined for that type of structure.

The author also considers the influence of concrete creep and shrinkage, as related to the differences of age between two precast elements.

Composite reinforced concrete structures are also considered. A calculation method is proposed which is based upon the results of the elastic and plastic theories and has been verified by a number of tests. This method enables to easily determine the failure safety coefficient of composite structures calculated by the theory of elasticity. Indeterminate composite structure calculation is discussed, especially regarding the influence of the variation of load elements with time factor.

Leere Seite Blank page Page vide